
Messbericht der mobilen Fluglärmmessung in Moosbrunn, Kläranlage

Berichtszeitraum von: 01.08.2021 bis 31.08.2021

Inhalt

1 Einführung

1.1.	Messsystem FANOMOS	S. 3
1.2.	Messgeräte und Einstellungen	S. 3
1.3.	Standort der Messstation	S. 4

2 Erfassung der Schallereignisse

2.1.	Methodik und Geräuscherfassung	S. 5
2.2.	Zuordnung zu Fluglärmereignissen	S. 5

3 Auswertung der Fluglärmmessung

3.1.	Auswertungsmethode und Erfassungsquoten	S. 6
3.2.	Überflughöhen der für den Messpunkt relevanten Flugbewegungen	S. 6
3.3.	Einzelpegelverteilung der einzelnen Pisten	S. 7
3.4.	Einzelpegelverteilung der einzelnen An- und Abflugrouten	S. 8
3.5.	Einzelpegelverteilung der einzelnen Flugzeugtypen	S. 9
3.6.	Äquivalenter Dauerschallpegel (LEQ) für die verschiedenen Betriebszustände	S. 10
3.7.	Grafiken zum Verlauf des Dauerschallpegels über den Messzeitraum	S. 11
3.8.	Grafiken zur Verteilung des Maximalpegels im Messzeitraum nach Windrichtung	S. 12

4 Verzeichnisse

4.1.	Abkürzungsverzeichnis und Erläuterung der jeweiligen Dauerschallpegel	S. 13
4.2.	Abbildungsverzeichnis	S. 13
4.3.	Tabellenverzeichnis	S. 13

1 Einführung

1.1. Messsystem FANOMOS

Mit FANOMOS (Flight Track and Noise Monitoring System) wurde bereits im Jahr 1990 am Flughafen Wien-Schwechat eine Fluglärm-Überwachungsanlage in Betrieb genommen.

FANOMOS misst die Fluggeräuschimmissionen aller startenden und landenden Flugzeuge und zeichnet in Verbindung mit Radardaten die Flugspur, Geschwindigkeit und Flughöhe auf. Weiters liefert das System Daten für die Kontrolle von Lärmzonenberechnungen.

Am Flughafen Wien werden an 15 fixen und 3 mobilen Messstellen in Siedlungsgebieten in der Umgebung des Flughafens die Schallpegel der Überflüge registriert und daraus die Werte für Tages-LEQ (06:00 Uhr - 22:00 Uhr) und Nacht-LEQ (22:00 Uhr - 06:00 Uhr) ermittelt.

Wesentliche Komponenten des Messsystems sind eine wetterfeste Mikrofoneinheit mit Windschirm, ein Messrechner (Analysator), ein GPS-System und eine Kommunikationseinheit, die eine kontinuierliche Datenübertragung gewährleistet. Eine unabhängige Energieversorgung wird mittels Brennstoffzelle gewährleistet.

Für die Geräuschauswertung wird eine spezielle Software eingesetzt, die eine automatische Unterscheidung zwischen Flug- und Fremdgeräusch trifft und eine Zuordnung der Fluginformationen eines in der Nähe befindlichen Flugzeuges durchführt.

1.2. Messgeräte und Einstellungen

Messgerät:	Norsonic Typ 140
Mikrofoneinheit:	Norsonic 1217 / 1209
Messhöhe über Grund:	4 m
Messbereich:	20 - 130 dB
Frequenzbewertung:	A
Zeitbewertung:	Slow

Ansprechpegel für Ereignisse:

Tag (06:00 Uhr - 22:00 Uhr):	55 dB
Nacht (22:00 Uhr - 06:00 Uhr):	50 dB
Mindestdauer:	10 Sek.

Eichtechnische Prüfung:

Die verwendeten Messgeräte und Mikrofone entsprechen der Genauigkeitsklasse 0,7 des österr. Maß- und Eichgesetzes, was eine Messgenauigkeit von +/- 0,7 dB ergibt.

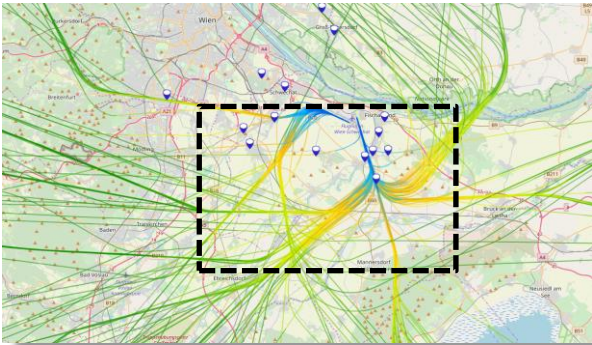
Die eichtechnischen Prüfungen erfolgen vorschriftsgemäß alle 2 Jahre in Übereinstimmung mit IEC 60651 Kl. 1, IEC 60804 Kl. 1 und IEC 61672 Kl.1.

1 Einführung

1.3. Standort der Messstelle

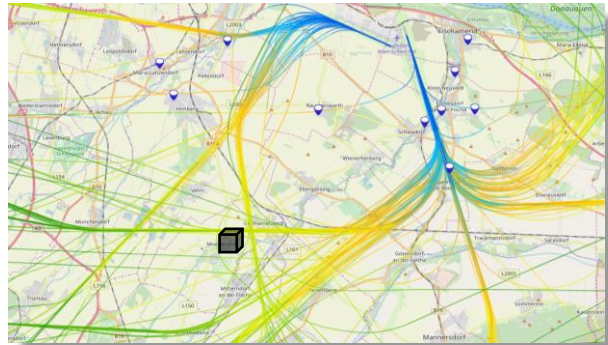
Messpunkt: Moosbrunn Kläranlage

Abb. 1: Übersichtskarte:



 ... Detailausschnitt

Abb. 2: Detailkarte:



 ... Messpunkt

Abb. 3: Symbolfoto der Messtelle:



Abb. 4: Messgerät und Modemeinheit:



2 Erfassung der Schallereignisse

2.1. Methodik und Geräuscherfassung

Als "Schallereignis" gelten jene Geräusche, die einen Messschwellenwert für eine bestimmte Mindestdauer übersteigen. Hierbei ist zwischen Fluglärmereignissen und Fremdgeräuschen (wie z.B. KFZ, Rasenmäher, ...) zu unterscheiden.

Tab. 1: Schallereignisse am Messpunkt für den gesamten Messzeitraum

registrierte Schallereignisse innerhalb des Messzeitraums		
Tag 06:00 Uhr - 22:00 Uhr	Nacht 22:00 Uhr - 06:00 Uhr	Gesamt 00:00 Uhr - 24:00 Uhr
3.570	699	4.269

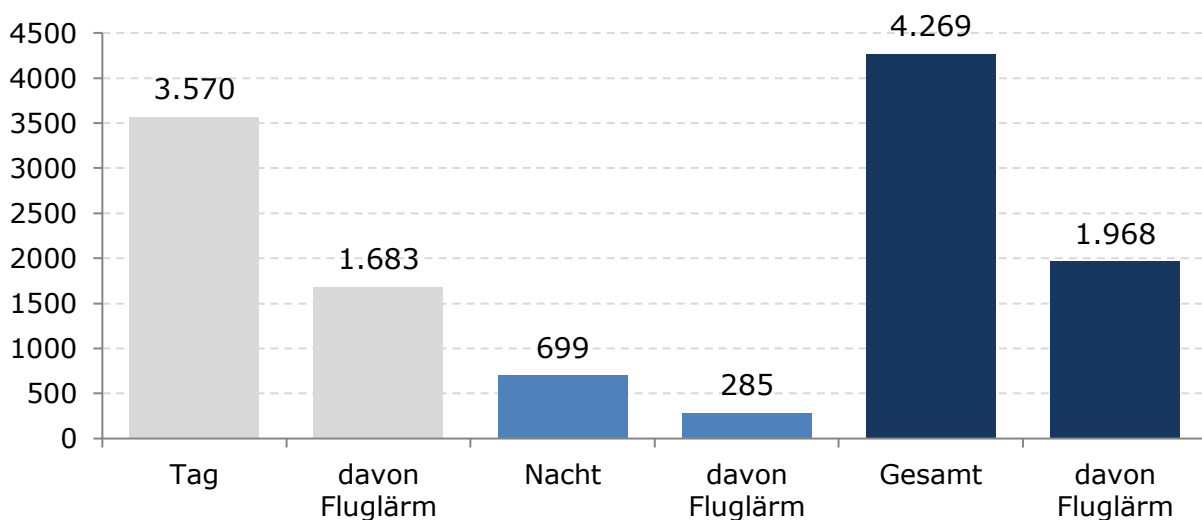
2.2. Zuordnung zu Fluglärmereignissen

Die Zuordnung zu Fluglärmereignissen basiert auf einer Korrelation mit den Radardaten der österr. Flugsicherung (Austro Control). Hierbei wird die Fluginformationen eines in der Nähe befindlichen Flugzeuges automatisch durchgeführt und manuell überprüft.

Tab. 2: zugeordnete Fluglärmereignisse am Messpunkt für den gesamten Messzeitraum

zugeordnete Fluglärmereignisse innerhalb des Messzeitraums		
Tag 06:00 Uhr - 22:00 Uhr	Nacht 22:00 Uhr - 06:00 Uhr	Gesamt 00:00 Uhr - 24:00 Uhr
1.683	285	1.968

Abb. 5: Schallereignisse am Messpunkt



3 Auswertung der Fluglärmmessung

3.1. Auswertungsmethode und Erfassungsquoten

Zur Erfassung der Anzahl aller Flüge im Bereich für den Messzeitraum wurden im Umkreis von 4.000 m um den Messpunkt alle Flugspuren anhand der Radardaten analysiert und den jeweiligen Start- und Landerichtungen zugeordnet.

Tab. 3: Anteil der für den Messpunkt relevanten Flugbewegungen

Starts Piste 29	davon im Bereich	Anteil
6.530	2.361	36,2%

Tab. 4: Erfassungsquote der für den Messpunkt relevanten Flugbewegungen

relevante Flugbewegungen im Bereich	Anzahl	Anzahl der zugeordneten Lärmereignisse	Erfassungsquote
Starts Piste 29	2.361	1.922	81,4%

Nicht erfasste Flugbewegungen sind

- Flugbewegungen, welche von Fremdgeräuschen (z.B.: KFZ, Rasenmäher) überlagert wurden
- Flugbewegungen, die aufgrund ihrer Entfernung zum Messpunkt bzw. der Type des Flugzeuges die Mindestdauer bzw. den Mindestpegel nicht erreichen.

3.2. Überflughöhen der für den Messpunkt relevanten Flugbewegungen

Nachstehende Tabelle zeigt die durchschnittlichen Überflughöhen am Messpunkt.

Tab. 5: Überflughöhen der relevanten Flugbewegungen

relevante Flugbewegungen	90% der Flüge waren über	durchschnittliche Höhe
Starts Piste 29	4.900 ft	5.800 ft

3 Auswertung der Fluglärmmessung

3.3. Einzelpegelverteilung der einzelnen Pisten

Tabelle 6 und 7 zeigen die energetisch gemittelten Einzelpegel in dB(A) der erfassten Fluglärmereignisse am Messpunkt nach Pisten.

Tab. 6: durchschnittliche Einzelpegel für erfasste Landungen pro Piste in dB(A)

Pistenrichtung	Anzahl	Anteil [%]	Ø Pegel [dB(A)]	Min. Pegel [dB(A)]	Max. Pegel [dB(A)]
Piste 11	-	-	-	-	-
Piste 16	-	-	-	-	-
Piste 29	-	-	-	-	-
Piste 34	1	100,0	60,8	60,8	60,8
Gesamt	1	100,0	60,8	60,8	60,8

Tab. 7: durchschnittliche Einzelpegel für erfasste Starts pro Piste in dB(A)

Abflugstrecken je Pistenrichtung	Anzahl	Anteil [%]	Ø Pegel [dB(A)]	Min. Pegel [dB(A)]	Max. Pegel [dB(A)]
Piste 11	1	0,1	62,4	62,4	62,4
Piste 16	35	1,8	65,1	60,6	70,7
Piste 29	1922	97,7	65,0	55,1	71,5
Piste 34	9	0,5	63,0	60,3	64,9
Gesamt	1967	100,0	65,0	55,1	71,5

Anmerkung:

Ø Pegel [dB(A)]energetisch gemittelter Lärmpegel, begrenzt durch Min. Pegel und Max. Pegel

Min. Pegel [dB(A)]niedrigster gemessener Lärmpegel auf der ausgewiesenen Piste

Max. Pegel [dB(A)] ...höchster gemessener Lärmpegel auf der ausgewiesenen Piste

3 Auswertung der Fluglärmmessung

3.4. Einzelpegelverteilung der einzelnen An- und Abflugrouten

Die Tabelle 8 zeigt die energetisch gemittelten Einzelpegel in dB(A), sowie minimale und maximale Pegel der erfassten Fluglärmereignisse am Messpunkt, aufgeteilt nach Abflugstrecken.

Tab. 8: Einzelpegel für erfasste Starts pro Abflugstrecke in dB(A)

Abflugstrecken	Anzahl	Anteil [%]	Ø Pegel [dB(A)]	Min. Pegel [dB(A)]	Max. Pegel [dB(A)]
STEIN3C	715	36,3	65,3	60,0	70,9
ARSIN1C	515	26,2	65,4	60,0	71,5
EMKOG3C	260	13,2	63,6	56,7	69,9
ADAMA2C	164	8,3	65,4	60,1	71,2
EWUKE1C	163	8,3	63,6	56,7	69,8
KOXER1C	76	3,9	64,7	60,6	69,1
MEDIX2B	22	1,1	64,9	60,6	70,7
ASPIB2C	15	0,8	58,8	55,1	64,5
LUGEM2B	10	0,5	65,9	61,2	69,9
EWUKE1D	5	0,3	62,0	60,3	63,9
RUPET2C	4	0,2	64,1	60,2	66,5
AGMIM2C	3	0,2	55,6	55,1	56,0
OSPEN4C	3	0,2	66,8	63,1	70,1

Anmerkung:

Es werden nur Abflugstrecken mit mindestens 3 Lärmereignissen ausgewiesen. Eine Übersicht aller Abflugstrecken ist auf www.flugspuren.at in der Rubrik "Flugrouten" abrufbar.

Ø Pegel [dB(A)]energetisch gemittelter Lärmpegel, begrenzt durch Min. Pegel und Max. Pegel

Min. Pegel [dB(A)]niedrigster gemessener Lärmpegel auf der ausgewiesenen Abflugstrecke

Max. Pegel [dB(A)] ...höchster gemessener Lärmpegel auf der ausgewiesenen Abflugstrecke

3 Auswertung der Fluglärmmessung

3.5. Einzelpegelverteilung der einzelnen Flugzeugtypen

Tabelle 9 zeigt die Verteilung der Einzelpegel der Flugzeugtypen für ausgewählte Pistenrichtungen bzw. Abflugstrecken geordnet nach der Anzahl der verursachten Maximalpegel.

Tab. 9: Einzelpegel der einzelnen Flugzeugtypen für relevante Flugbewegungen in dB(A)

Flugzeugtypen Starts Piste 29	Code	Anzahl	Anteil [%]	Ø Pegel [dB(A)]	Min. Pegel [dB(A)]	Max. Pegel [dB(A)]
Airbus A320	A320	853	44,4	64,6	57,1	70,9
Airbus A321	A321	268	13,9	65,9	56,1	70,7
Embraer ERJ 190-100	E195	261	13,6	65,0	55,1	69,7
Boeing 737-800	B738	221	11,5	65,4	60,1	70,1
Airbus A319	A319	87	4,5	64,1	56,7	69,0
Airbus A321neo	A21N	71	3,7	63,9	59,3	68,0
Boeing 787-8 Dreamliner	B788	17	0,9	64,0	60,3	70,1
Airbus A330-300	A333	15	0,8	68,4	65,9	71,5
Airbus A380-800	A388	14	0,7	67,8	56,2	71,2
Boeing 777-200	B772	12	0,6	64,5	55,1	69,9
Boeing 787-9 Dreamliner	B789	10	0,5	64,7	60,2	69,8
Airbus A330-200	A332	9	0,5	66,8	63,6	69,7
Airbus A320neo	A20N	9	0,5	62,4	60,2	64,1
Boeing 757-200	B752	9	0,5	62,0	60,2	63,6
ATR 72-200	AT72	7	0,4	61,1	60,2	62,6
Boeing 737-900	B739	6	0,3	66,6	63,9	68,3
Bombardier BD-500 CSeries	BCS3	6	0,3	61,7	60,4	63,5
Embraer ERJ 190-100	E190	4	0,2	68,1	64,3	69,6
Boeing 777-300ER	B77W	4	0,2	66,1	62,3	67,4
Bombardier BD-700 Global	GLEX	4	0,2	63,8	60,5	66,0
Bombardier BD-100	CL30	4	0,2	61,5	60,9	62,5
Boeing 787-10 Dreamliner	B78X	3	0,2	65,4	64,7	66,6
Boeing 737-500	B735	3	0,2	65,3	63,6	66,8
Embraer ERJ 170-200 (long	E75L	3	0,2	63,5	61,2	64,3
Boeing 737-700	B737	3	0,2	62,7	61,3	64,2
Flugzeugtypen < 3	-	19	1,0	64,3	60,0	70,1
Summe Starts Piste 29		1922	100,0	65,0	55,1	71,5

Anmerkung:

Es werden nur Flugzeugtypen mit mindestens 3 Lärmereignissen ausgewiesen.

Ø Pegel [dB(A)]energetisch gemittelter Lärmpegel, begrenzt durch Min. Pegel und Max. Pegel

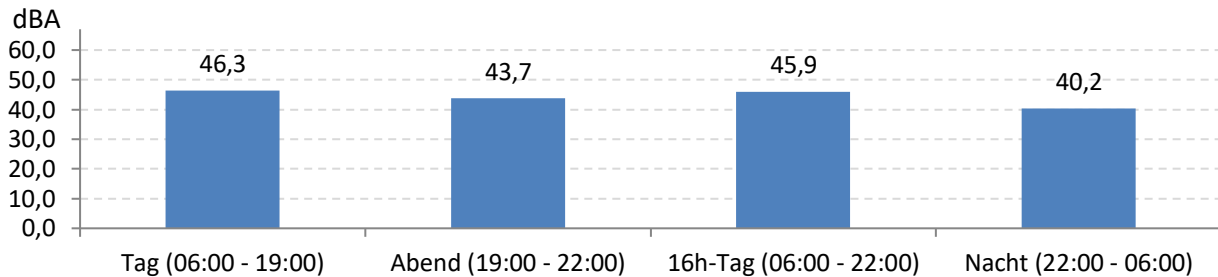
Min. Pegel [dB(A)]niedrigster gemessener Lärmpegel des ausgewiesenen Flugzeugtypes

Max. Pegel [dB(A)] ...höchster gemessener Lärmpegel des ausgewiesenen Flugzeugtypes

3 Auswertung der Fluglärmmessung

3.6. Äquivalenter Dauerschallpegel (LEQ) für die verschiedenen Betriebszustände

Abb. 6: LEQ für den gesamten Messzeitraum während der Messdauer (Gesamt: 744 Stunden)



Als Information, welche Pistenbetriebsrichtungen am Messpunkt die höhere Schallimmission verursachen, werden die jeweiligen LEQs auch auf jene Zeiträume bezogen, in denen die gleichen Windverhältnisse geherrscht haben (westliche Winde – Windstille – östlichen Winde).

Abb. 7: LEQ bei Pistenbetriebsrichtung "westliche Winde" 490 Stunden im Messzeitraum

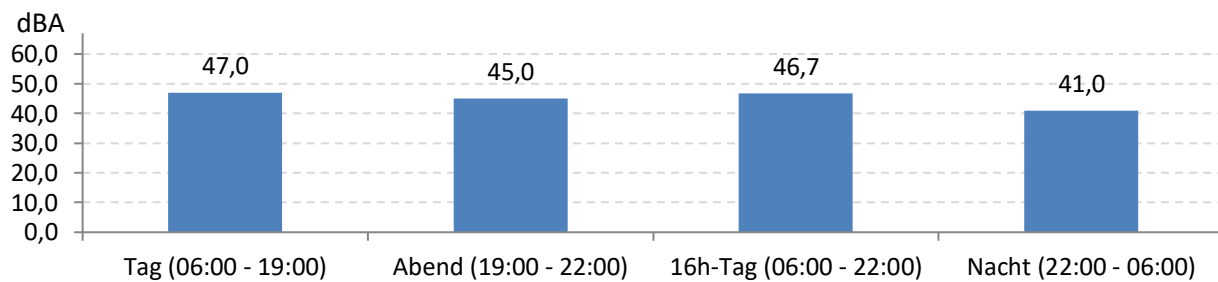


Abb. 8: LEQ bei Pistenbetriebsrichtung "Windstille" 194 Stunden im Messzeitraum

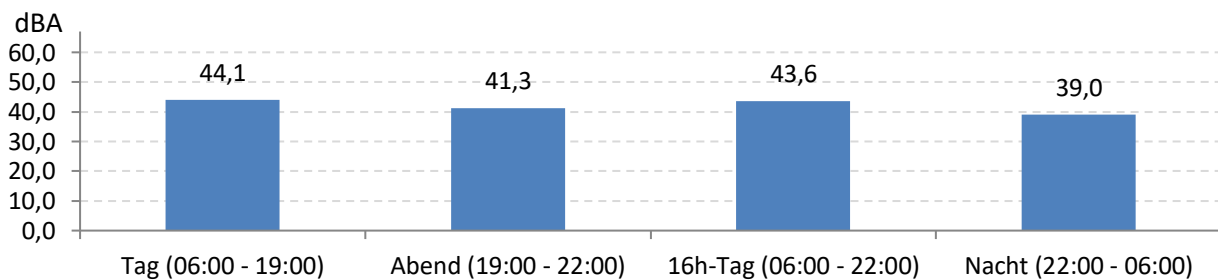
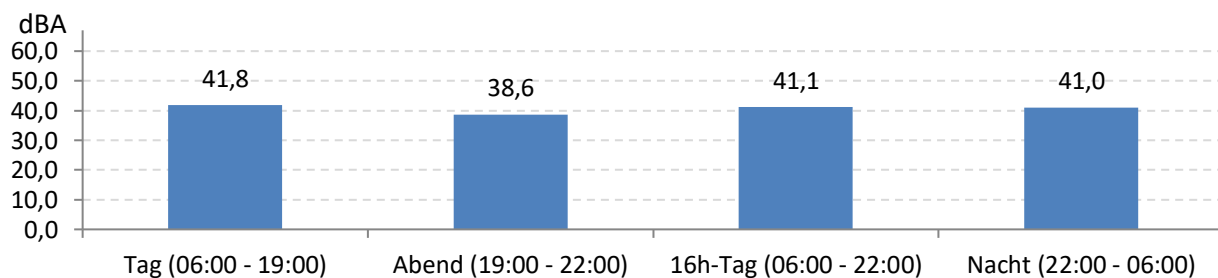


Abb. 9: LEQ bei Pistenbetriebsrichtung "östliche Winde" 60 Stunden im Messzeitraum



3 Auswertung der Fluglärmmessung

3.7. Grafiken zum Verlauf des Dauerschallpegels über den Messzeitraum

Die Grafiken zeigen den Verlauf der täglichen Dauerschallpegel über den Messzeitraum und den Verlauf der über den Messzeitraum gemittelten Stunden-LEQs für Flugverkehr.

Abb.10: LEQ für Flugverkehr über den Messzeitraum

Messdauer: 744 Stunden

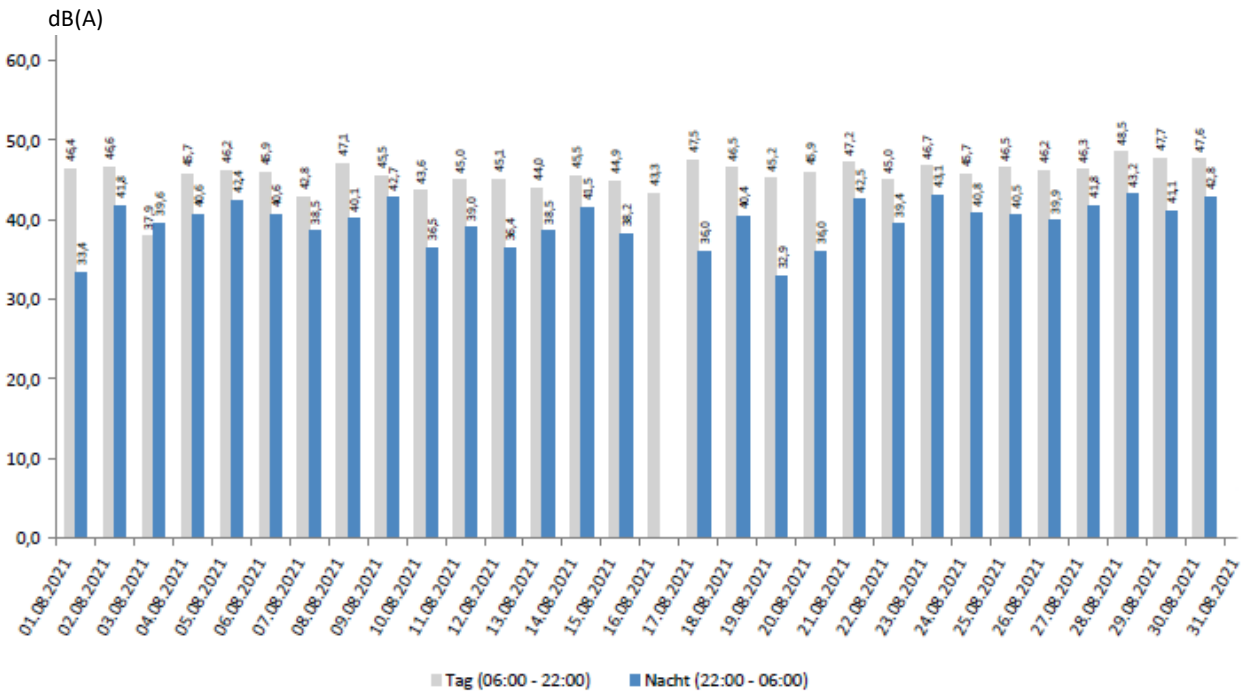
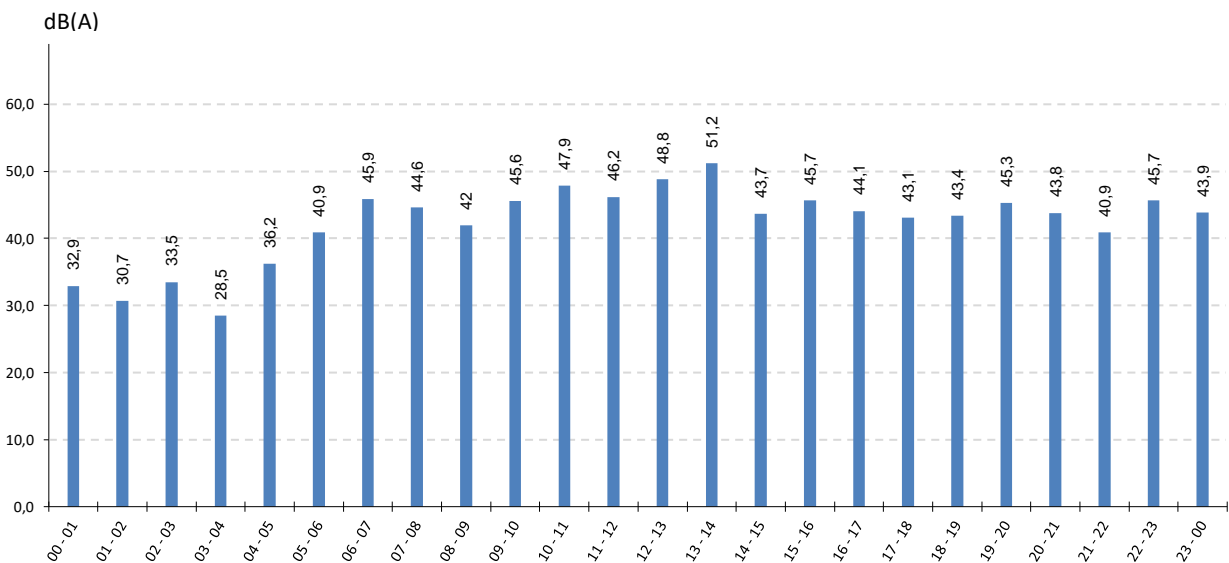


Abb. 11: Verlauf der über den Meßzeitraum gemittelten Stunden-LEQs für Flugverkehr



3 Auswertung der Fluglärmmessung

3.8 Grafiken zur Verteilung des Maximalpegels im Messzeitraum nach Windrichtung

Die Grafiken zeigen die Verteilung der einzelnen Lärmereignisse an je einem im Messzeitraum erfassten Westwind-Tag und Ostwind-Tag.

Abb. 12: Verteilung des Maximalpegels bei westlichen Winden

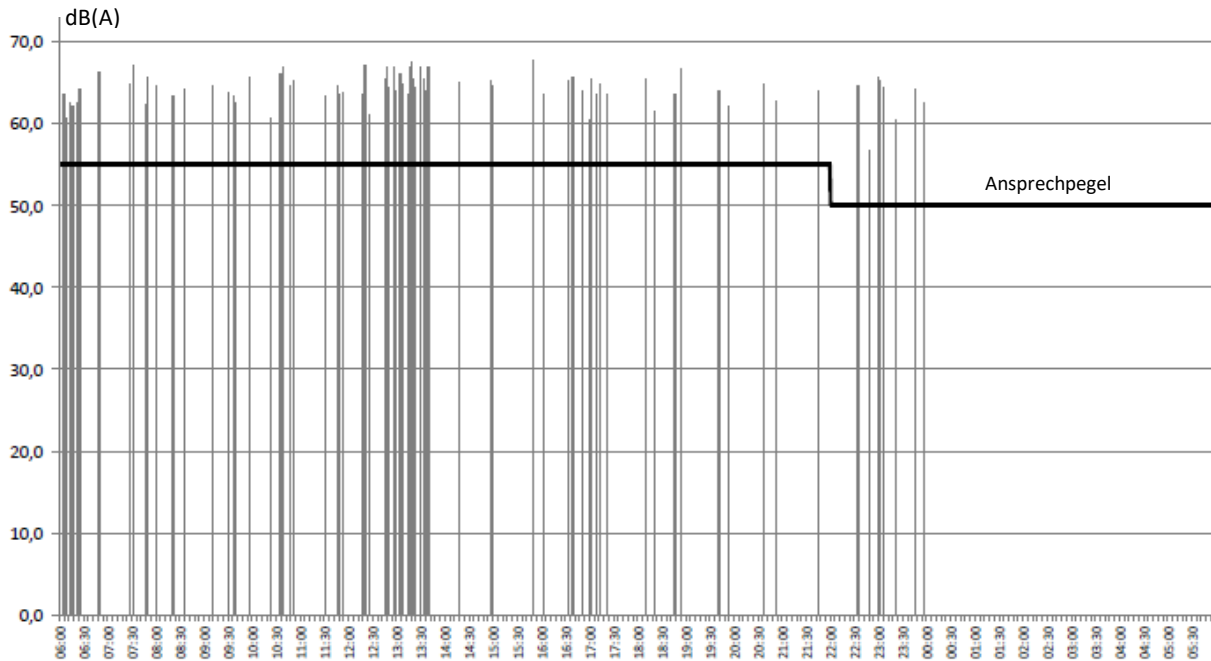
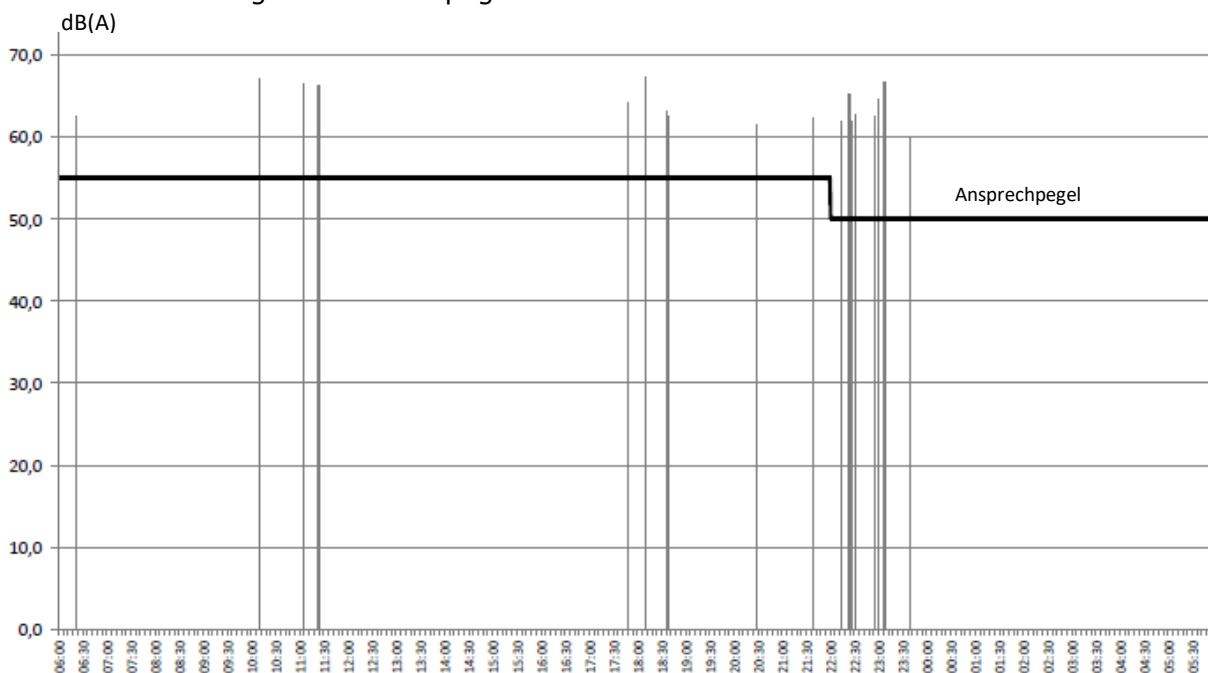


Abb. 13: Verteilung des Maximalpegels bei östlichen Winden



Spitzenpegel und Häufigkeit der Überflüge hängen von den jeweiligen Wetterbedingungen und Flugplänen ab. Trotz gleicher Pistennutzung kann es deshalb zu Unterschieden in der Tagesverteilung kommen.

4 Verzeichnisse

4.1. Abkürzungen und Erläuterung der jeweiligen Dauerschallpegel

Äquivalenter Dauerschallpegel (LEQ):

Energetischer Mittelwert aller durch Flugverkehr verursachten Schallereignisse innerhalb eines gewählten Zeitraumes. Von jedem einzelnen Schallereignis werden ab einem bestimmten Schwellenwert sowohl Spitzenpegel als auch Ereignisdauer erfasst und daraus - einschließlich dazwischen liegender Ereignispausen - ein gesamter Durchschnittswert errechnet.

Tages-LEQ:

Äquivalenter Dauerschallpegel bezogen auf den Tag (06:00 Uhr bis 19:00 Uhr)

Abend-LEQ:

Äquivalenter Dauerschallpegel bezogen auf den Abend (19:00 Uhr bis 22:00 Uhr)

Tages-LEQ (16h):

Äquivalenter Dauerschallpegel bezogen auf 16 Stunden (06:00 Uhr bis 22:00 Uhr)

Nacht-LEQ:

Äquivalenter Dauerschallpegel bezogen auf die Nacht (22.00 Uhr bis 06:00 Uhr)

4.2. Abbildungsverzeichnis

Abb. 1: Übersichtskarte Messpunkt

Abb. 2: Detailkarte Messpunkt

Abb. 3: Foto der Messstelle

Abb. 4: Messgerät und Modemeinheit

Abb. 5: Schallereignisse am Messpunkt

Abb. 6: LEQ für den gesamten Messzeitraum während der Messdauer

Abb. 7: LEQ bei Pistenbetriebsrichtung "westliche Winde"

Abb. 8: LEQ bei Pistenbetriebsrichtung "Windstille"

Abb. 9: LEQ bei Pistenbetriebsrichtung "östliche Winde"

Abb. 10: LEQ für Flugverkehr über den Messzeitraum

Abb. 11: Verlauf der über den Meßzeitraum gemittelten Stunden-LEQs für Flugverkehr

Abb. 12: Verteilung des Maximalpegels bei westlichen Winden

Abb. 13: Verteilung des Maximalpegels bei östlichen Winden

4.3. Tabellenverzeichnis

Tab. 1: Schallereignisse am Messpunkt für den gesamten Messzeitraum

Tab. 2: zugeordnete Fluglärmereignisse am Messpunkt

Tab. 3: Anteil der relevanten Flugbewegungen im Bereich

Tab. 4: Erfassungsquote der relevanten Flugbewegungen

Tab. 5: Überflughöhen der relevanten Flugbewegungen

Tab. 6: Durchschnittliche Einzelpegel für erfasste Landungen pro Piste in dB(A)

Tab. 7: Durchschnittliche Einzelpegel für erfasste Starts pro Piste in dB(A)

Tab. 8: Einzelpegel für erfasste Starts pro Abflugstrecke in dB(A)

Tab. 9: Einzelpegel der einzelnen Flugzeugtypen für relevante Flugbewegungen in dB(A)